

Un schéma volumes finis pour les équations de Navier-Stokes quantique

Robin Colombier, encadré par Caterina Calgari et Emmanuel Creusé
Congrès d'Analyse NUMérique (CANUM)

29 mai 2024



- 1 Introduction
- 2 Adaptation du système
- 3 Applications numériques
- 4 Conclusion

1 Introduction

2 Adaptation du système

3 Applications numériques

4 Conclusion

Sur le tore $\Omega = \mathbb{T}^d$, $d = 1, 2, 3$

Equations de Navier-Stokes quantique

$$\left\{ \begin{array}{l} \partial_t \rho + \nabla \cdot (\rho \mathbf{u}) = 0, \\ \partial_t (\rho \mathbf{u}) + \nabla \cdot (\rho \mathbf{u} \otimes \mathbf{u} + p(\rho) \mathbb{I}) = 2\nu \nabla \cdot (\rho D(\mathbf{u})) + 2\epsilon^2 \rho \nabla \frac{\Delta \sqrt{\rho}}{\sqrt{\rho}} - r \rho \mathbf{u} \\ \rho(0, x) = \rho_0(x), \quad \mathbf{u}(0, x) = \mathbf{u}_0(x), \quad t \in \mathbb{R}^+, \quad x \in \Omega \end{array} \right.$$

Paramètres

- $p(\rho) = \rho^\gamma$ la pression
- γ coefficient adiabatique ($\gamma > 1$)
- ϵ la constante de Planck
- ν la constante de viscosité
- r une constante d'amortissement

Physique des équations

- Passage du microscopique au macroscopique
- **A. Jünger, 2009, LNP, Transport Equations for Semiconductors**
- Équation de Liouville-Von Neumann
- Transformée de Wigner
- Équation de Wigner-BGK
- Passage à la limite hydrodynamique

Potentiel de Bohm

- Terme d'ordre 3
- $2\rho\nabla\frac{\Delta\sqrt{\rho}}{\sqrt{\rho}} = \nabla\cdot(\rho\nabla^2\log(\rho)) = \Delta\nabla\rho - 4\nabla\cdot(\nabla\sqrt{\rho}\otimes\nabla\sqrt{\rho})$
- Difficulté pour la construction de schéma numérique

1 Introduction

2 Adaptation du système

3 Applications numériques

4 Conclusion

Construction du système augmenté

- Gisclon, Lacroix – Violet, 2015, JNLA
- Bresch, Desjardins, Zatorska, 2015, JMPA
- Bresch, Gisclon, Lacroix – Violet, 2019, ARMA
- $\mathbf{v} = \epsilon \frac{\nabla \rho}{\rho}$
- Système augmenté d'ordre 2
- Nouvelle équation comme gradient de la conservation de la masse

Rappel

$$\begin{cases} \partial_t \rho + \nabla \cdot (\rho \mathbf{u}) = 0, \\ \partial_t (\rho \mathbf{u}) + \nabla \cdot (\rho \mathbf{u} \otimes \mathbf{u} + p(\rho) \mathbb{I}) = 2\nu \nabla \cdot (\rho D(\mathbf{u})) + 2\epsilon^2 \rho \nabla \frac{\Delta \sqrt{\rho}}{\sqrt{\rho}} - r \rho \mathbf{u} \end{cases}$$

Système augmenté

$$\begin{cases} \partial_t \rho + \nabla \cdot (\rho \mathbf{u}) = 0, \\ \partial_t (\rho \mathbf{u}) + \nabla \cdot (\rho \mathbf{u} \otimes \mathbf{u}) + \rho^\gamma \mathbb{I} = \epsilon \nabla \cdot (\rho \nabla \mathbf{v}) + 2\nu \nabla \cdot (\rho D(\mathbf{u})) - r \rho \mathbf{u}, \\ \partial_t (\rho \mathbf{v}) + \nabla \cdot (\rho \mathbf{v} \otimes \mathbf{u}) = -\epsilon \nabla \cdot (\rho \nabla^T \mathbf{u}). \end{cases}$$

Équation d'énergie

Égalité d'énergie

$$\int_{\Omega} \partial_t \left(\frac{\rho}{2} |\mathbf{u}|^2 + \frac{\rho}{2} |\mathbf{v}|^2 + \frac{\rho^\gamma}{\gamma-1} \right) + \int_{\Omega} (r\rho |\mathbf{u}|^2 + \nu |\sqrt{\rho} \nabla \mathbf{u}|^2) = 0$$

- Bresch, Giovangigli, Zatorska, 2015, JMPA
- Bresch, Gisclon, Lacroix-Violet, Vasseur, 2021, JMFM
- $\kappa \in]0, 1[$

Egalité de κ -entropie

$$\begin{aligned} & \int_{\Omega} \partial_t \left(\frac{\rho}{2} \left(u + \frac{2\kappa\nu}{\epsilon} v \right)^2 + \frac{\rho}{2} \left(1 + \frac{4\nu\kappa(1-\kappa)}{\epsilon^2} \right) v^2 \right) + \frac{\rho^\gamma}{\gamma-1} + 2r\nu\kappa\rho \ln(\rho) \, dx \\ & + \int_{\Omega} \left(2\kappa\nu\gamma\rho^{\gamma-2} |\partial_x \rho|^2 + 2\nu(1-\kappa)(\sqrt{\rho} \partial_x u)^2 + 2\kappa\nu(\sqrt{\rho} \partial_x v)^2 + r\rho u^2 \right) dx = 0 \end{aligned} \quad (1)$$

Système augmenté

$$\begin{cases} \partial_t \rho + \partial_x(\rho u) = 0, \\ \partial_t(\rho u) + \partial_x(\rho u^2 + \rho^\gamma) = \epsilon \partial_x(\rho \partial_x v) + 2\nu \partial_x(\rho \partial_x u) - r\rho u, \\ \partial_t(\rho v) + \partial_x(\rho v u) = -\epsilon \partial_x(\rho \partial_x u). \end{cases}$$

- $w = u + \frac{2\kappa\nu}{\epsilon} v$
- Système en les variables ρ, w, v
- On note $c = \epsilon - \frac{4\kappa\nu^2(1-\kappa)}{\epsilon}$

Réécriture du système en ρ, w, v

$$\begin{cases} \partial_t \rho + \partial_x(\rho w) = 2\kappa\nu \partial_{xx} \rho, \\ \partial_t(\rho w) + \partial_x(\rho w^2 + \rho^\gamma + 2r\kappa\nu\rho) \\ \quad = 2\kappa\nu \partial_x(w \partial_x \rho) + 2\nu(1-\kappa) \partial_x(\rho \partial_x w) + c \partial_x(\rho \partial_x v) - r\rho w + 4r\kappa\nu \partial_x \rho, \\ \partial_t(\rho v) + \partial_x(\rho v w) = 2\kappa\nu \partial_{xx}(\rho v) - \epsilon \partial_x(\rho \partial_x w). \end{cases}$$

Système

On obtient le système suivant :

$$\partial_t U + \partial_x F(U) = M(U)$$

Notations

$$U = \begin{pmatrix} \rho \\ \rho w \\ \rho v \end{pmatrix}, \quad F(U) = \begin{pmatrix} \rho w \\ \rho w^2 + \rho^\gamma + 2r\kappa\nu\rho \\ \rho v w \end{pmatrix} = \begin{pmatrix} U_2 \\ \frac{U_2^2}{U_1} + U_1^\gamma + 2r\kappa\nu U_1 \\ \frac{U_2 U_3}{U_1} \end{pmatrix}$$

$$M = \begin{pmatrix} 2\kappa\nu\partial_{xx}^2\rho \\ 2\kappa\nu\partial_x(w\partial_x\rho) + 2\nu(1-\kappa)\partial_x(\rho\partial_x w) + c\partial_x(\rho\partial_x v) - r\rho w + 4r\kappa\nu\partial_x\rho \\ 2\kappa\nu\partial_x(v\partial_x\rho) - \epsilon\partial_x(\rho\partial_x w) + 2\kappa\nu\partial_x(\rho\partial_x v) \end{pmatrix}$$

Remarques

- $E_\kappa = \frac{1}{2} \left(\frac{U_2^2}{U_1} + c \frac{U_3^2}{U_1} \right) + \frac{U_1^\gamma}{\gamma - 1} + 2r\nu\kappa U_1 \ln(U_1)$
- E_κ est convexe
- $G(U) = w(E_\kappa + p(\rho) + 2r\kappa\nu\rho)$
- $\nabla_U G = (\nabla_U F) \nabla_U (E_\kappa)$

Une ébauche de preuve, avec $\kappa \in (0, 1)$

$$\partial_t U + \partial_x F(U) = M(U)$$

$$\Rightarrow \int_{\Omega} \partial_t U \nabla_U E_\kappa + \partial_x F(U) \nabla_U E_\kappa = \int_{\Omega} M(U) \nabla_U E_\kappa$$

$$\Leftrightarrow \int_{\Omega} \partial_t E_\kappa + \partial_x G(U) = \int_{\Omega} M(U) \nabla_U E_\kappa$$

$$\Leftrightarrow \int_{\Omega} \partial_t E_\kappa = - \int_{\Omega} 2r\kappa\nu\gamma\rho^{\gamma-2} (\partial_x \rho)^2 + 2\nu(1-\kappa) (\sqrt{\rho} \partial_x u)^2 + 2\kappa\nu (\sqrt{\rho} \partial_x v)^2 + r\rho u^2$$

Schéma de splitting



Notations

On suit la démarche proposé par **D. Bresch et al., JCP, 2020**. On note :

$$U_i^n \approx U(t^n, x_i) = \left(\rho(t^n, x_i) \quad \rho w(t^n, x_i) \quad \rho v(t^n, x_i) \right)^\top$$

$$U^n = (U_1^n, \dots, U_N^n)$$

$$E_\kappa(U_i^n) = \frac{1}{2} \rho_i ((w_i^n)^2 + (1 + \frac{4\nu^2 \kappa (1 - \kappa)}{\epsilon^2}) (v_i^n)^2) + \frac{1}{\gamma - 1} (\rho_i^n)^\gamma + 2r\nu\kappa \rho_i^n \ln(\rho_i^n)$$

$$E_{\kappa, tot}^n = dx \sum_{i=1}^N E_\kappa(U_i^n)$$

Schéma de splitting

On utilise un schéma de splitting :

$$\begin{cases} U^{n+\frac{1}{2}} = U^n + dt \partial_x F(U^n) & \text{Phase hyperbolique} \\ U^{n+1} = U^{n+\frac{1}{2}} + dt M(U^{n+\frac{1}{2}}) & \text{Phase diffusive} \end{cases}$$

Étape $\partial_t U + \partial_x F(U) = 0$

Avec $\lambda_{\max}(F(U_i)) = |w_i^n| + \sqrt{\gamma(\rho_i^n)^{\gamma-1} + 2r\kappa\nu}$, $i \in [1, N]$

Phase hyperbolique

L'étape est :

$$U_i^{n+\frac{1}{2}} = U_i^n - \frac{dt}{dx} (F_{i+\frac{1}{2}}^n - F_{i-\frac{1}{2}}^n)$$

Le flux de Rusanov est :

$$F_{i+\frac{1}{2}}^n = \frac{1}{2} (F(U_{i+1}^n) - F(U_i^n)) - \max_{j \in i, i+1} (|w_j^n| + \sqrt{\gamma(\rho_j^n)^{\gamma-1} + 2r\kappa\nu}) \frac{U_{i+1}^n - U_i^n}{2}$$

Qui permet d'avoir :

$$E_{\text{tot}}^{n+\frac{1}{2}} \leq E_{\text{tot}}^n$$

- Étape $U^{n+1} = U^{n+\frac{1}{2}} + dtM(U^{n+1})$
- Discrétisation différences finies
- Schéma Euler implicite en temps

Résolution de ρ^{n+1}

On calcule ρ^{n+1} en premier

$$\partial_t \rho = 2\kappa\nu \partial_{xx}^2 \rho,$$

$$(\mathbb{I} + 2\kappa\nu\lambda\mathbb{D})\rho^{n+1} = \rho^{n+\frac{1}{2}}$$

avec \mathbb{D} la matrice du Laplacien périodique, $\lambda = \frac{dt}{dx^2}$.

Grâce à l'obtention de ρ^{n+1} , le reste du problème devient linéaire

On définit la matrice suivante :

$$\mathbb{C}(\rho) = \begin{pmatrix} \frac{\rho_2 + \rho_N}{\rho_1} & -\frac{\rho_1}{\rho_2} & 0 & \dots & 0 & -\frac{\rho_1}{\rho_N} \\ \frac{\rho_1}{\rho_2} & \frac{\rho_2}{\rho_3 + \rho_1} & -\frac{\rho_2}{\rho_3} & & & \\ \frac{\rho_1}{\rho_2} & \frac{\rho_2}{\rho_3 + \rho_1} & -\frac{\rho_2}{\rho_3} & & & \\ \vdots & \vdots & & \ddots & & \vdots \\ 0 & & & & -\frac{\rho_{N-1}}{\rho_{N-2}} & \frac{\rho_{N-2} + \rho_N}{\rho_{N-1}} & -\frac{\rho_{N-1}}{\rho_N} \\ -\frac{\rho_N}{\rho_1} & 0 & \dots & & \frac{\rho_{N-1}}{\rho_N} & \frac{\rho_{N-1} + \rho_1}{\rho_N} \end{pmatrix}$$

$$M_{2,3} = \left(\begin{array}{l} 2\kappa\nu\partial_x(w\partial_x\rho) + 2\nu(1-\kappa)\partial_x(\rho\partial_x w) + c\partial_x(\rho\partial_x v) - rpw + 4r\kappa\nu\partial_x\rho \\ -\epsilon\partial_x(\rho\partial_x w) + 2\kappa\nu\partial_{xx}^2(\rho\partial_x v) \end{array} \right)$$

$$\mathbb{M}(\rho^{n+1}) = \begin{bmatrix} rdt\mathbb{I} + 2\kappa\nu\lambda(\mathbb{C}(\rho^{n+1}) - \mathbb{D}) + 2(1-\kappa)\nu\lambda(\mathbb{D} + \mathbb{C}(\rho^{n+1})) & \frac{c}{2}\lambda(\mathbb{D} + \mathbb{C}(\rho^{n+1})) \\ -\epsilon\lambda(\mathbb{D} + \mathbb{C}(\rho^{n+1})) & 2\kappa\nu\lambda\mathbb{D} \end{bmatrix}$$

$$S^{n+1} = \left(4r\kappa\nu \left(\frac{\rho_i^{n+1} - \rho_{i-1}^{n+1}}{dx \sqrt{\rho_i^n \hat{\rho}_{i-\frac{1}{2}}^{n+1}}} \right) \right)$$

- On veut être consistant avec $\partial_x \rho = \rho \partial_x (\log(\rho))$.
- On discrétise $\rho \left(\frac{\partial_x \rho}{\rho} \right) = \frac{\rho_i^n - \rho_{i-1}^n}{dx \sqrt{\rho_i^n \hat{\rho}_{i-\frac{1}{2}}^n}}$, avec $\hat{\rho}_{i-\frac{1}{2}}^n = \frac{\rho_i - \rho_{i-1}}{\ln(\rho_i) - \ln(\rho_{i-1})}$

Résolution

$$U_{2,3}^{n+1} = U_{2,3}^{n+\frac{1}{2}} - \mathbb{M}(\rho^{n+1})U_{2,3}^{n+1} + S^{n+1}$$

Rappel : Égalité de κ -entropie

$$\int_{\Omega} \partial_t \left(\frac{\rho}{2} \left(u + \frac{2\kappa\nu}{\epsilon} v \right)^2 + \frac{\rho}{2} \epsilon c v^2 + \frac{\rho^\gamma}{\gamma-1} + 2r\nu\kappa\rho \ln(\rho) \right) dx$$

$$+ \int_{\Omega} \left(2\kappa\nu\gamma\rho^{\gamma-2} (\partial_x \rho)^2 + 2\nu(1-\kappa) (\sqrt{\rho} \nabla u)^2 + 2\kappa\nu (\sqrt{\rho} \nabla v)^2 + r\rho u^2 \right) dx = 0$$

Équivalent discret

$$E_{tot}^{n+1} \leq E_{tot}^n - \frac{dt}{dx} \left(2\kappa\nu\gamma \sum_i (\tilde{\rho}_{i-\frac{1}{2}}^{n+1})^{\gamma-2} (\rho_i^{n+1} - \rho_{i-1}^{n+1})^2 + 2\kappa\nu \sum_i \rho_{i-\frac{1}{2}}^{n+1} (v_i^{n+1} - v_{i-1}^{n+1})^2 \right.$$

$$+ 2\nu(1-\kappa) \sum_i \rho_{i-\frac{1}{2}}^{n+1} \left(w_i^{n+1} - \frac{2\kappa\nu}{\epsilon} v_i^{n+1} - \left(w_{i-1}^{n+1} - \frac{2\kappa\nu}{\epsilon} v_{i-1}^{n+1} \right) \right)^2$$

$$\left. + r \sum_i \rho_i^{n+1} \left\{ dx w_i^{n+1} - 2\kappa\nu \frac{\rho_i^{n+1} - \rho_{i-1}^{n+1}}{\sqrt{\rho_i^{n+1} \hat{\rho}_{i-\frac{1}{2}}^{n+1}}} \right\}^2 \right)$$

1 Introduction

2 Adaptation du système

3 Applications numériques

4 Conclusion

Solution à partir de l'équation de Schrödinger

- Équation de Schrödinger non linéaire $i\epsilon\partial_t\Psi + \frac{\epsilon^2}{2}\partial_{xx}^2\Psi - f(|\Psi|^2)\Psi = 0$.
- Transformée de Madelung, **E. Madelung, Zeit. f. Phys. 1927**
- Équation d'Euler quantique :

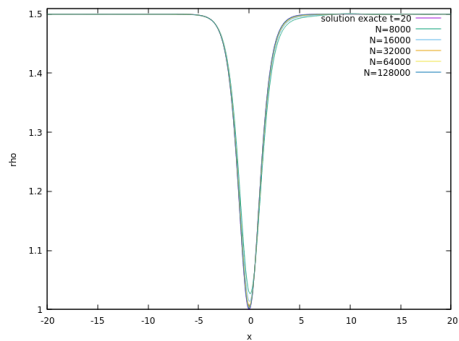
$$\begin{cases} \partial_t\rho + \partial_x(\rho u) = 0 \\ \partial_t(\rho u) + \partial_x(\rho u^2) + \partial_x\left(\frac{\rho^2}{2}\right) - \frac{1}{2}\rho\partial_x\frac{\partial_{xx}^2\sqrt{\rho}}{\sqrt{\rho}} = 0 \end{cases}$$

- correspond à une équation de transport avec $\epsilon = \frac{1}{2}, \nu = 0, r = 0, p(\rho) = \frac{\rho^2}{2}$

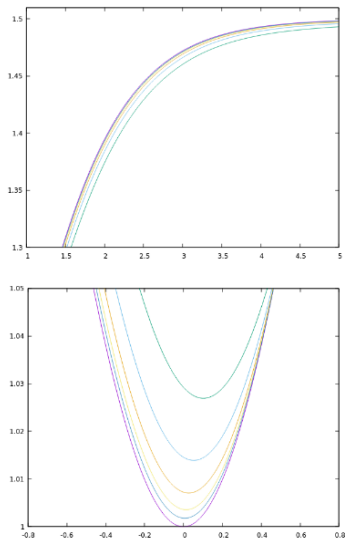
Soliton 'gris' 1d

- Simulations numériques tirées de **F. Dhaouadi et al., SIAM, 2019**

- $\rho(t, x) = b1 - \frac{b1 - b3}{\cosh(\sqrt{b1 - b3}(x - Ut))^2}, \quad b1, b3, U \in \mathbb{R}^+, \text{ ici } b1 = 1.5, b3 = 1, U = 2$
- $u(t, x) = U - \frac{b1\sqrt{b3}}{\rho(t, x)}$



(a) simulation pour le soliton sur une période



$$\text{Avec } Err = \sqrt{\sum (dx(x_{num} - x_{exacte}))^2}$$

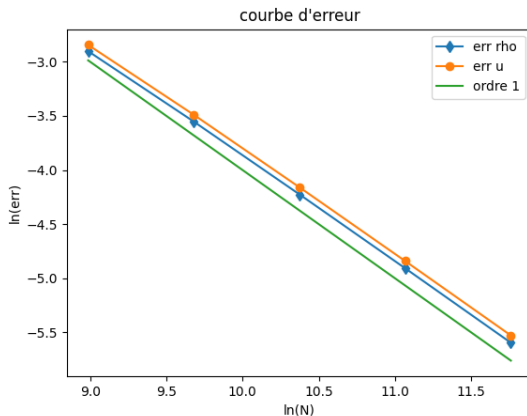


Figure – Courbe de convergence pour des maillages de 8000 à 128000 mailles

Problème de Riemann dispersif

- Problème sans solution analytique
- Conditions initiales :

$$\text{En notant } \rho_M = \frac{\rho_L + \rho_R}{2}, \quad u_M = \frac{u_L + u_R}{2}$$

$$\rho_0(x) = \rho_M - \frac{\rho_L - \rho_R}{2} \tanh\left(\frac{x}{\delta}\right)$$

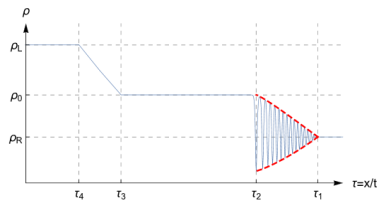
$$u_0(x) = u_M - \frac{u_L - u_R}{2} \tanh\left(\frac{x}{\delta}\right)$$

- 4 valeurs caractéristiques définissent différents régimes :

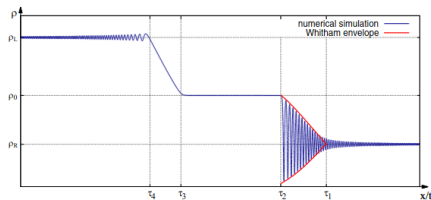
$$\tau_1 = u_R + \frac{8\rho_M - 8\sqrt{\rho_M\rho_R} + \rho_R}{2\sqrt{\rho_M} - \sqrt{\rho_R}}, \quad \tau_2 = u_R + \sqrt{\rho_M},$$

$$\tau_3 = u_M - \sqrt{\rho_M}, \quad \tau_4 = u_L - \sqrt{\rho_L}$$

- Conditions limites de Dirichlet



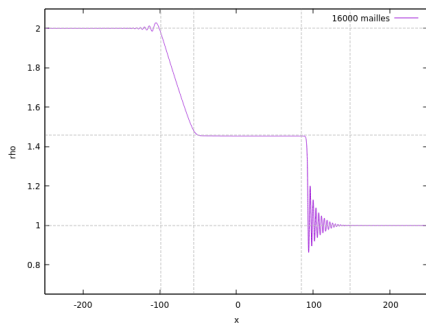
(a) Résultat numérique attendu



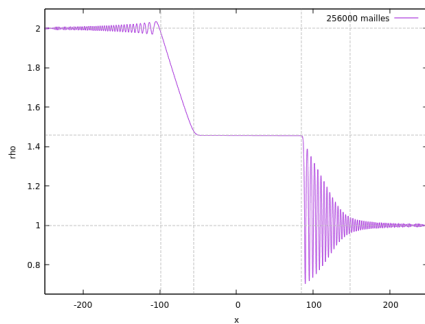
(b) Résultat numérique obtenu par F. Dhaouadi et al.

Figure – $\rho(x)$ pour $\rho_L = 2$, $\rho_R = 1$, $u_L = u_R = 0$, $\delta = 0.2$ à $t = 70$

Résultats numériques pour ρ



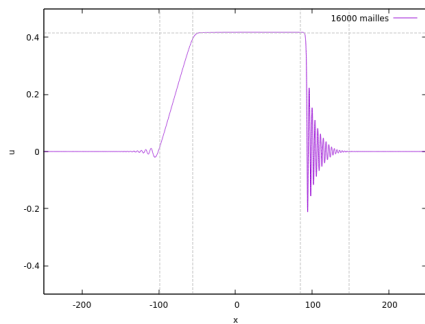
(a) Simulation 16000 mailles



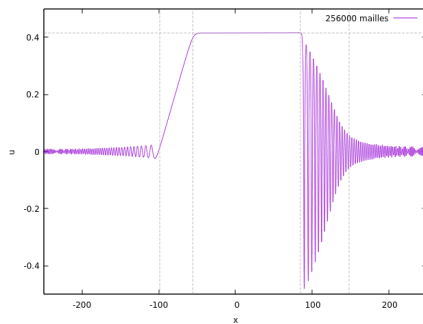
(b) Simulation 256000 mailles

Figure – $\rho(x)$ pour $\rho_L = 2, \rho_R = 1, u_L = u_R = 0$, à $t = 70$

Résultats numériques pour u



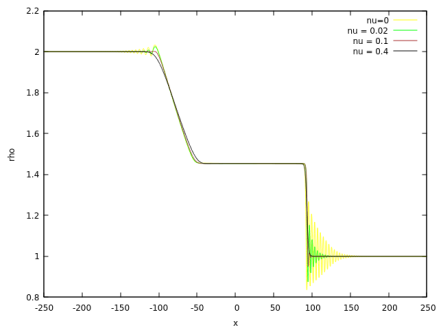
(a) Simulation 16000 mailles



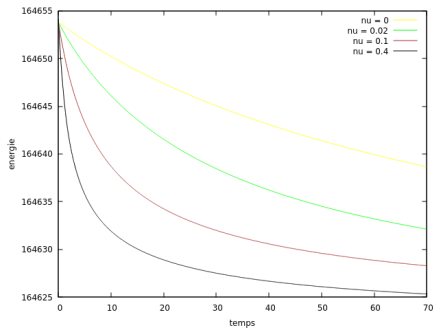
(b) Simulation 256000 mailles

Figure – $u(x)$ pour $\rho_L = 2, \rho_R = 1, u_L = u_R = 0$, à $t = 70$

On considère désormais ce qu'il se passe avec de la viscosité :



(a) Simulation pour différentes viscosités



(b) Décroissance de l'énergie pour différentes viscosités

Figure – Problème de Riemann dispersif avec viscosité pour 32000 mailles

1 Introduction

2 Adaptation du système

3 Applications numériques

4 Conclusion

Travail fait

- Adaptation des équations en les variables ρ, w, v
- Nouvelle méthode de démonstration de l'inégalité de κ -entropie
- Construction d'un schéma numérique qui respecte cette inégalité

Perspectives possibles

- Extension du schéma à la 2d
- Obtenir un résultat sur la vitesse de décroissance de l'énergie

Résolution

On résout :

$$U_{2,3}^{n+1} = U_{2,3}^{n+\frac{1}{2}} - M(\rho^{n+1})U_{2,3}^{n+1} + S^{n+1}$$

On conjecture que la matrice est inversible

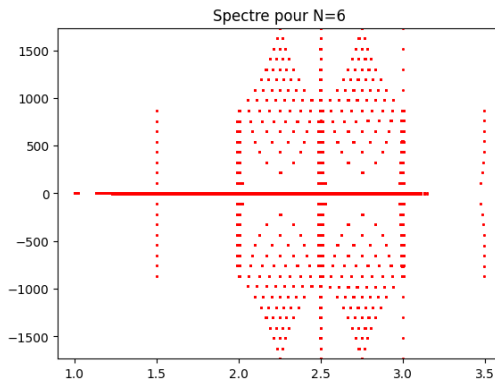


Figure – Valeur propre dans \mathbb{C} pour différentes valeurs de $\rho, \kappa = \frac{1}{2}$

Pour comprendre le sens physique du système des équations de Navier-Stokes quantique, on va effectuer un passage à l'échelle macroscopique en partant de l'échelle microscopique. On s'aide pour cela des travaux A.Jüngel [**Jungel2012QuantumNE**, **book:Jungel**].

Sur le livre de A. Jüngel, Springer, 2009, *Transport Equations for Semiconductors*

C'est l'équation de Liouville-Von Neumann qui permet de donner l'état quantique d'un système de particules.

Equation de Liouville-Von Neumann

$$i\hbar\partial_t\rho_{op}(t, \mathbf{x}, y) = (H_x - H_y)\rho_{op}, \quad (t, \mathbf{x}, y) \in \mathbb{R}^+ \times \mathbb{R}^M \times \mathbb{R}^M, \quad (2)$$

avec $H_z = \frac{-\hbar^2}{2m}\Delta_z - qV(\mathbf{z})$, où \hbar est la constante de Planck réduite, q la charge d'un électron et V un potentiel électrique.

On peut faire le lien entre ρ_{op} et la densité ρ tel que :

$$\rho(t, \mathbf{x}) = 2\rho_{op}(t, \mathbf{x}, \mathbf{x}),$$

Besoin d'une équation cinétique

Transformée de Wigner

Soit $g : \mathbb{R}^+ \times \mathbb{R}^M \times \mathbb{R}^M \rightarrow \mathbb{C}$, on définit la transformée de Wigner de g par :

$$W(g)(t, x, p) = \int_{\mathbb{R}^M} g\left(t, x + \frac{y}{2}, x - \frac{y}{2}\right) e^{-\frac{iy \cdot p}{\epsilon}} dy. \quad (3)$$

On appelle son inverse la quantité de Weil, noté W^{-1} .

Équation de Wigner

Si on définit $w(t, x, p) = W(\rho_{op})(t, x, p)$, alors w est solution de l'équation :

$$\partial_t w + \frac{1}{m} p \cdot \nabla_x w + q\theta[V]w = 0, \quad (t, x, p) \in \mathbb{R}^+ \times \mathbb{R}^M \times \mathbb{R}^M, \quad (4)$$

avec

$$\theta[V]w(t, x, p) = \frac{1}{(2\pi\epsilon)^M} \int_{\mathbb{R}^M \times \mathbb{R}^M} \frac{i}{\epsilon} \delta V(t, x, y) w(t, x, p') e^{\frac{iy \cdot (p-p')}{\hbar}} dp' dy.$$

$$\text{Et } \delta V(t, x, y) = V\left(t, x + \frac{1}{2}y\right) - V\left(t, x - \frac{1}{2}y\right).$$

Sous certaines hypothèses notamment de symétrie dans les interactions entre particules, on peut simplifier le terme de potentiel $\theta[V]$. Il faut de plus prendre en compte les collisions entre particules, pour cela, on considère une relaxe à l'équilibre, c'est le modèle de Wigner-BGK, dont l'équation adimensionnée est :

Équation de Wigner-BGK

$$\partial_t w + \mathbf{p} \cdot \nabla_x w + q\theta[V_{\text{eff}}]w = \frac{1}{\nu}(M_{\text{eq}}[w] - w), \quad (t, \mathbf{x}, \mathbf{p}) \in \mathbb{R}^+ \times \mathbb{R} \times \mathbb{R}, \quad (5)$$

avec

$$V_{\text{eff}}(t, \mathbf{x}) = V_{\text{ext}}(t, \mathbf{x}) + \int_{\mathbb{R}} \rho(t, s) V_0(\mathbf{x}, s) ds,$$

$$M_{\text{eq}}[w] = \text{Exp}\left(\left(A(t, \mathbf{x}) - \frac{|\mathbf{p}(t, \mathbf{x}) - \mathbf{u}(t, \mathbf{x})|^2}{2(t, \mathbf{x})}\right)\right), \text{ avec } \text{Exp}(f) = W(e^{W^{-1}(f)}).$$

Où V_0 représente les interactions entre les particules à l'état initiale, et M_{eq} est une maxwellienne qui représente l'état à l'équilibre de w .

Conservation des moments

Selon le choix de la maxwellienne, les moments de w peuvent représenter des quantités physiques :

$$\begin{cases} \rho(t, x) = \int_{\mathbb{R}} w(t, x, s) ds, \text{ la densité de particules,} \\ \rho u(t, x) = \int_{\mathbb{R}} s w(t, x, s) ds, \text{ la densité de courant,} \end{cases} \quad (6)$$

Passage à la limite hydrodynamique

ϵ est le nombre de Knudsen, il fait le lien entre les échelles mésoscopique et macroscopique. En effectuant le développement autour de l'équilibre en posant $w = M_{eq}[w] + \nu g$, et en passant à la limite $\nu \rightarrow 0$, les moments de w deviennent solutions, à $O(\nu)$ près, des équations de Navier-Stokes quantique :

$$\begin{cases} \partial_t \rho + \partial_x(\rho u) = 0, \\ \partial_t(\rho u) + \partial_x(\rho u^2) + \partial_x p(\rho) - 2\epsilon^2 \rho \partial_x \frac{\partial_{xx}^2 \sqrt{\rho}}{\sqrt{\rho}} = 2\nu \partial_x(\rho \partial_x u), \end{cases} \quad (7)$$

avec α la constante de Planck réduite adimensionnée, sous l'hypothèse que $\epsilon^2 = O(\nu)$.